

Օ. Մ. ՍԱՊՈՆԴՅԱՆ

ПОСТРОЕНИЕ КОНФОРМНО ОТОБРАЖАЮЩИХ ФУНКЦИЙ
ДЛЯ НЕКОТОРЫХ ДВУСВЯЗНЫХ ОБЛАСТЕЙ С
ПРИМЕНЕНИЕМ К ЗАДАЧЕ КРУЧЕНИЯ

В работе указывается способ построения функций, конформно отображающих область кольца на некоторые двусвязные области, ограниченные простыми контурами. При построении приближенных отображающих функций применен известный метод Л. В. Канторовича [1].

Построенные отображающие функции могут применяться при решении ряда задач теории упругости и пластичности [2].

В качестве примера применения построенных функций рассмотрена задача о кручении призматического стержня с сечением, ограниченным извне окружностью, а изнутри—прямолинейным разрезом.

§1. Отображение области кольца на область с
прямолинейным разрезом

1. Обозначим комплексную координату области кольца через $\zeta = r e^{i\theta}$, а области с разрезом (область G) через $z = x + iy$. Внутренний радиус кольца пусть будет $r = \lambda < 1$, а внешний — $r = 1$. В области G имеется прямолинейный разрез вдоль конечного отрезка прямой, уравнение которой пусть будет $y = mx$ ($m = \text{const}$) или в комплексной форме

$$\bar{z} = \frac{(1 - im)^2}{1 + m^2} z \quad (\bar{z} = x - iy) \quad (1.1)$$

Конформное отображение области кольца на область G осуществляется рядом Лорана. Используя только условие перехода внутренней окружности кольца на разрез (1.1), указанный ряд приводим к виду

$$z = w(\zeta) = \sum_{k=1}^{\infty} \left[a_k \zeta^k + \frac{(1 + im)^2}{1 + m^2} \bar{a}_k \frac{\zeta^{2k}}{\bar{\zeta}^k} \right] \quad (1.2)$$

где $a_1 \neq 0$, $\Im a_1 = 0$.

Функция (1.2) обеспечивает наличие разреза (1.1) в G независимо от значения коэффициентов a_k . Последние определяются из условия перехода внешней окружности кольца на внешний контур области G .

2. В качестве первого примера определения a_k рассмотрим случай, когда область G есть бесконечная полоса с разрезом вдоль отрезка оси x длиной $2d$ (фиг. 1). В этом случае в (1.2) надо положить $m = 0$, $\bar{a}_k = a_k$, $a_{2k} = 0$. Из условия перехода контура $y = b$ на внешнюю полуокружность кольца при $0 \leq \theta \leq \pi$, то есть из условия

$$\sum_{k=1}^{\infty} a_{2k+1} (1 - \lambda^{4k+2}) \sin(2k+1)\theta = b$$

определяем коэффициенты

$$a_{2k+1} = \frac{4b}{\pi (2k+1) (1 - \lambda^{4k+2})}$$

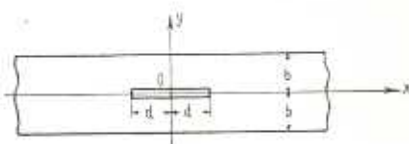
При этом отображающая функция (1.2) примет вид

$$z = \psi(\zeta) = \frac{4b}{\pi} \sum_{k=0}^{\infty} \frac{\zeta^{2k+1} + \frac{\lambda^{4k+2}}{\zeta^{2k+1}}}{(2k+1)(1 - \lambda^{4k+2})} \quad (1.3)$$

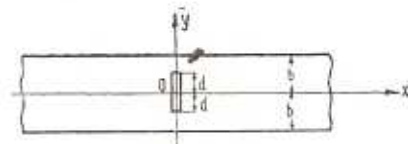
Отсюда при $\zeta = \lambda$ для половины длины разреза будем иметь

$$d = \frac{8b}{\pi} \sum_{k=0}^{\infty} \frac{\lambda^{2k+1}}{(2k+1)(1 - \lambda^{4k+2})} \quad (1.4)$$

Придавая параметру λ различные значения в интервале $0 < \lambda < 1$, находим соответствующие значения d .



Фиг. 1.



Фиг. 2.

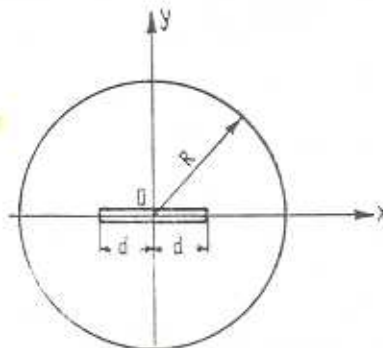
В случае, когда разрез длиной $2d$ проведен вдоль отрезка оси y и симметрично расположен относительно оси x (фиг. 2), отображающая функция (1.2) примет вид

$$z = \psi(\zeta) = \frac{4b}{\pi} \sum_{k=0}^{\infty} \frac{\zeta^{2k+1} - \frac{\lambda^{4k-2}}{\zeta^{2k+1}}}{(2k+1)(1 - \lambda^{4k+2})} \quad (1.5)$$

откуда, при $\zeta = \lambda$, будем иметь

$$d = \frac{8b}{\pi} \sum_{k=0}^{\infty} \frac{(-1)^k \lambda^{2k+1}}{(2k+1)(1 - \lambda^{4k+2})} \quad (1.6)$$

3. Рассмотрим случай, когда область G есть круг с диаметральным разрезом длиной $2d < 2R$, симметрично расположенным относительно центра круга, принятого за начало координат (фиг. 3). Ось x проходит вдоль разреза.



Фиг. 3.

Из (1.2) для рассматриваемого случая имеем

$$z = \omega(\zeta) = \sum_{k=0}^{\infty} a_{2k+1} \left(\zeta^{2k+1} + \frac{\lambda^{4k+2}}{\zeta^{2k+1}} \right) \quad (1.7)$$

Уравнением внешнего контура области G будет $zz' = R^2$. Внеся в это уравнение (1.7) и приняв $\zeta = e^{i\theta}$, приходим к бесконечной системе уравнений относительно a_{2k+1} :

$$\begin{aligned} \sum_{k=0}^{\infty} (1 + \lambda^{8k+4}) a_{2k+1}^2 &= R^2 \\ \sum_{k=0}^{\infty} (1 + \lambda^{8k+16}) a_{2k+1} a_{2k+2n+1} &= \\ + \sum_{k=0}^{n-1} \lambda^{4k+2} a_{2k+1} a_{2n-2k-1} &= 0 \quad (n = 1, 2, \dots) \end{aligned}$$

Решая эти уравнения с точностью до λ^8 методом последовательных приближений [1], находим

$$\begin{aligned} a_1 &= R(1 - \lambda^4 + 2\lambda^8), & a_3 &= -R\lambda^2(1 - 2\lambda^4) \\ a_5 &= R\lambda^4(1 - 2\lambda^4), & a_7 &= -R\lambda^6, & a_9 &= R\lambda^8 \end{aligned}$$

Пользуясь этими значениями, из (1.7) получим

$$\begin{aligned} z &= R \left[(1 - \lambda^4 + 2\lambda^8) \left(\zeta + \frac{\lambda^2}{\zeta} \right) - \lambda^2(1 - 2\lambda^4) \left(\zeta^3 + \frac{\lambda^6}{\zeta^3} \right) + \right. \\ &\quad \left. + \lambda^4(1 - 2\lambda^4) \left(\zeta^5 + \frac{\lambda^{10}}{\zeta^5} \right) - \lambda^6 \left(\zeta^7 + \frac{\lambda^{14}}{\zeta^7} \right) + \lambda^8 \left(\zeta^9 + \frac{\lambda^{18}}{\zeta^9} \right) \right] \quad (1.8) \end{aligned}$$

Приняв в (1.8) $\zeta = \lambda$, с принятой точностью находим

$$d = 2R \cdot (1 - 2\lambda^4 + 5\lambda^8) \quad (1.9)$$

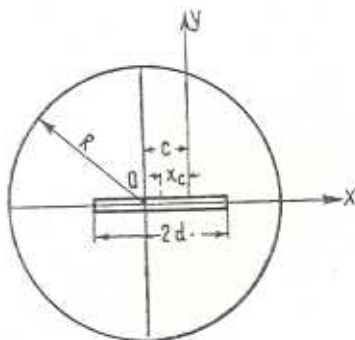
4. Рассмотрим теперь случай, когда область G есть круг с несимметричным относительно центра круга диаметральным разрезом длиной $2d < 2R$. Направив ось x вдоль разреза (фиг. 4) и приняв $m = 0$, $\bar{a}_k = a_k$, из (1.2) получим

$$z = \varphi(\zeta) = \sum_{k=1}^{\infty} a_k \left(\zeta^k + \frac{\lambda^{2k}}{\zeta^k} \right) \quad (1.10)$$

Уравнение внешнего контура области G представим в комплексной форме

$$z\bar{z} + c(z + \bar{z}) = R^2 - c^2 \quad (1.11)$$

где c — расстояние от центра круга до начала координат.



Фиг. 4.

Внеся (1.10) при $\zeta = e^{i\theta}$ в (1.11) и обозначив

$$\gamma = \frac{c}{R}, \quad a_k = Ru_k$$

приходим к бесконечной системе уравнений

$$\begin{aligned} u_1 &= (1 + i^4)^{-1/2} \left\{ 1 - \gamma^2 - [(1 + i^8) u_2^2 + (1 + i^{12}) u_3^2 + \dots] \right\}^{1/2} \\ u_{2n} &= -u_1^{-1} (1 + \lambda^{4n+2})^{-1} \left\{ (1 + \lambda^{4n+6}) u_2 u_{2n-1} + \right. \\ &\quad + \sum_{k=2}^{\infty} [(1 + \lambda^{8k+4n-2}) u_{2k} u_{2k+2n-1} + (1 + \lambda^{8k+4n-6}) u_{2k-1} u_{2k+2n-2}] + \\ &\quad \left. + \sum_{k=1}^{n-1} (\lambda^{4k-2} u_{2k-1} u_{2n-2k} + \lambda^{4k} u_{2k} u_{2n-2k-1}) + \gamma (1 + \lambda^{4n-2}) u_{2n-1} \right\} \end{aligned}$$

$$\begin{aligned}
 u_{2n-1} = & -u_1^{-1} (1 + i^{4n+4})^{-1} \left\{ (1 + i^{4n+8}) u_2 u_{2n-2} + \right. \\
 & + \sum_{k=2}^{\infty} [(1 + i^{8k+4n}) u_{2k} u_{2k-2n} + (1 + i^{8k+4n-4}) u_{2k-1} u_{2k+2n-1}] + \\
 & \left. + \sum_{k=1}^n (i^{4k-2} u_{2k-1} u_{2n-2k-1} + i^{4k} u_{2k} u_{2n-2k}) + v (1 + i^{4n}) u_{2n} \right\} \\
 u_0 = 0 \quad (n = 1, 2, \dots)
 \end{aligned}$$

Из этой системы уравнений методом последовательных приближений [1] могут быть найдены значения конечного числа коэффициентов u_k .

Определив эти коэффициенты для нечетных „ k “ с точностью до $i^m v^n$ при $m+n=4$ ($m=0, 2, 4$; $n=0, 2, 4$), а для четных „ k “ с точностью до $i^m v^n$ при $m+n=5$ ($m=0, 2, 4$; $n=1, 3, 5$) и приняв за исходное значение $u_1^{(0)}=u_2^{(0)}=\dots=0$, отображающую функцию (1.10) представим в виде

$$\begin{aligned}
 z = R \left| (1 - v^2 - v^2 i^2 - i^4) \left(\frac{v}{z} + \frac{i^2}{z} \right) - (v + 2v^2 - i^3 - \right. \\
 \left. - 4v^2 v^3) \left(\frac{v^2}{z} + \frac{i^4}{z^2} \right) + (v^2 - i^2 + 5v^2 i^2 - v^4) \left(\frac{v^3}{z} + \frac{i^6}{z^3} \right) + \right. \\
 \left. + (2v^2 - v^3 + 4v^4 - 8v^2 i^2 + v^5) \left(\frac{v^4}{z} + \frac{i^8}{z^4} \right) - \right. \\
 \left. - (3v^2 i^2 - i^4 - v^4) \left(\frac{v^5}{z} + \frac{i^{10}}{z^5} \right) + \right. \\
 \left. + (4v^2 i^2 - 3v^4 - v^5) \left(\frac{v^6}{z} + \frac{i^{12}}{z^6} \right) \right| \quad (1.12)
 \end{aligned}$$

Приняв в (1.12) $\frac{v}{z} = \pm i$, с принятой точностью находим

$$2d = 4R / (1 - v^2 - 2i^4) \quad (1.13)$$

а для абсциссы срединной точки разреза будем иметь

$$x_c = -2R i^2 v (1 + 2i^2 - v^2) \quad (1.14)$$

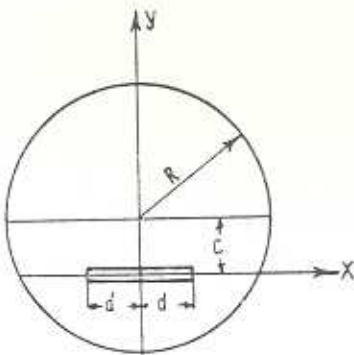
5. Рассмотрим также случай, когда область G есть круг с разрезом, показанным на фиг. 5.

В случае, когда область G симметрична только относительно оси y , ось x проведена вдоль разреза, отображающая функция (1.2) приведется к виду

$$z = \omega(z) = \sum_{k=1}^{\infty} \left[a_{2k-1} \left(z^{2k-1} + \frac{i^{4k-2}}{z^{2k-1}} \right) + i a_{2k} \left(z^{2k} - \frac{i^{4k}}{z^{2k}} \right) \right] \quad (1.15)$$

Уравнение внешнего контура области G представим в комплексной форме

$$z\bar{z} + ic(z - \bar{z}) = R^2 - c^2$$



Фиг. 5.

В это уравнение внеся (1.15) при $\zeta = e^{i\theta}$, приходим к бесконечной системе уравнений

$$u_1 = (1 + i^4)^{-1/4} [1 - \gamma^2 - [(1 + i^8) u_2^2 + (1 + i^{12}) u_3^2 + \dots]]^{1/2}$$

$$\begin{aligned} u_{2n} &= u_1^{-1} (1 + i^{4n+2})^{-1} \left\{ (1 + i^{4n+6}) u_2 u_{2n-1} - \right. \\ &- \sum_{k=2}^{\infty} [(1 + i^{8k+4n-6}) u_{2k-1} u_{2k+2n-1} - (1 + i^{8k+4n-2}) u_{2k} u_{2k-2n-1}] - \\ &\left. - \sum_{k=1}^{n-1} (i^{4k-2} u_{2k-1} u_{2n-2k} + i^{4k} u_{2k} u_{2n-2k-1}) - \gamma (1 - i^{4n-2}) u_{2n-1} \right\} \end{aligned}$$

$$\begin{aligned} u_{2n+1} &= -u_1^{-1} (1 + i^{4n+4})^{-1} \left\{ (1 + i^{4n+8}) u_2 u_{2n+2} + \right. \\ &+ \sum_{k=2}^{\infty} [(1 + i^{8k+4n-4}) u_{2k-1} u_{2k+2n-1} + (1 + i^{8k+4n}) u_{2k} u_{2k+2n}] + \\ &\left. + \sum_{k=1}^n (i^{4k-2} u_{2k-1} u_{2n-2k+1} - i^{4k} u_{2k} u_{2n-2k}) - \gamma (1 - i^{4n}) u_{2n} \right\} \end{aligned}$$

$$u_0 = 0 \quad (n = 1, 2, \dots)$$

также

$$u_k = \frac{a_k}{R}, \quad \gamma = \frac{c}{R}$$

Из приведенной бесконечной системы уравнений методом последовательных приближений, с оговоренной выше точностью, определяем a_1, a_2, \dots, a_6 .

При этом отображающая функция (1.15) будет иметь вид

$$z = \sum_{k=1}^3 \left| a_{2k-1} \left(\frac{r^{2k-1}}{\zeta^{2k-1}} + \frac{\zeta^{2k-2}}{r^{2k-1}} \right) + ia_{2k} \left(\zeta^{2k} - \frac{r^{4k}}{\zeta^{2k}} \right) \right| \quad (1.16)$$

где

$$\begin{aligned} a_1 &= R(1 - r^2 + r^2 i^2 - i^4), & a_2 &= -R(r - 2ri^2 - r^3 + 4r^3 i^2) \\ a_3 &= -R(r^2 - i^2 - 5r^2 i^2 - r^4), & a_4 &= R(2ri^2 + i^3 - 2ri^4 - 8r^3 i^2 - r^5) \\ a_5 &= R(i^4 + 3r^2 i^2 - r^4), & a_6 &= -R(3ri^4 - 4r^2 i^2 + r^5) \end{aligned} \quad (1.17)$$

Приняв в (1.16) $\zeta = ie^{i\theta}$, получим значение абсциссы произвольной точки разреза

$$x = 2 \sum_{k=1}^3 [a_{2k-1} r^{2k-1} \cos(2k-1)\theta - a_{2k} r^{2k} \sin 2k\theta] \quad (1.18)$$

Для половины длины разреза имеем $d = x_{\max}$.

Если принять, например, $r = i = 0.25$, то из (1.18) найдем $d = 0.468R$ при $\theta = 6^\circ 41'$.

§ 2. Отображение области кольца на область, ограниченную извне окружностью, а изнутри правильным многоугольником и наоборот

1. Обозначим через $w_0(\zeta)$ функцию Кристоффеля-Шварца, конформно отображающую внешнюю область окружности радиуса $r = \lambda$ на внешнюю область правильного многоугольника. Эта функция разлагается в ряд

$$z_0 = w_0(\zeta) = c \left(\zeta + \sum_{k=1}^{\infty} \frac{\lambda^{m^k} a_{mk-1}}{\zeta^{mk-1}} \right) \quad (2.1)$$

где c — постоянный параметр, m — число сторон многоугольника, a_{mk-1} — известные действительные постоянные, не зависящие от λ .

Иногда (2.1) принимают за приближенное выражение функции, конформно отображающей область кольца радиусами $r = \lambda < 1$ и $r = 1$ на область G , ограниченную изнутри правильным многоугольником, а извне окружностью L . Точность такого приближения, очевидно, зависит от значения λ . Чем меньше λ , тем больше точность приближения.

Условие перехода внешней окружности кольца на окружность L выражается формулой

$$w_0(e^{i\theta}) w_0(e^{-i\theta}) = R^2 \quad (2.2)$$

где R — радиус окружности L .

Из (2.2), с учетом (2.1), получим

$$1 + i^{2m} a_{m-1}^2 + \dots + 2i^{2m} a_{m-1} \cos m\theta + \\ + 2i^{2m} a_{2m-1} \cos 2m\theta + \dots = \frac{R^2}{c^2} \quad (2.3)$$

Это уравнение будет точно выполняться тогда, когда все коэффициенты a_{mk-1} равны нулю, что можно было предвидеть заранее. Приближенно (2.3) будет выполняться, если пренебречь в нем членами, содержащими множитель i в степени m и больше. При этом из (2.3) получим

$$c = R \quad (2.4)$$

При указанной точности кривую L можно принять за окружность радиуса R .

Для повышения точности приближения кривой L к окружности радиуса R воспользуемся отображающей функцией

$$z = \omega_0(\zeta) = c i^m a_{m-1} \zeta^{m+1} \quad (2.5)$$

Тогда взамен (2.3) будем иметь

$$1 + 2i^{2m} a_{m-1}^2 + \dots + 2i^{2m} a_{2m-1} \cos 2m\theta + \dots = \frac{R^2}{c^2} \quad (2.6)$$

Это уравнение приближенно удовлетворится, если в нем пренебречь членами, содержащими множитель i в степени $2m$ и больше. При этом из (2.6) получится опять (2.4). Можно показать, что с той же точностью удовлетворяется условие перехода внутренней окружности кольца на внутренний контур области G .

Таким образом, функция (2.5), с учетом (2.4), с точностью $1 + i^{2m} \approx 1$ осуществляет условие перехода контуров кольца на контуры области G .

Перепишем (2.5) в окончательном виде

$$z = \omega(\zeta) = R \left[\zeta + \sum_{k=1}^{\infty} \frac{i^{mk} a_{mk-1}}{\zeta^{mk-1}} - i^m a_{m-1} \zeta^{m+1} \right] \quad (2.7)$$

В качестве примера рассмотрим случай отображения области кольца на область, ограниченную изнутри квадратом, а извне — окружностью.

За приближенное выражение функции, конформно отображающей внешность окружности радиуса $\rho = i$ на внешность квадрата, с достаточной точностью можно принять первые три члена функции (2.1) при $m = 4$:

$$z_0 = c \left(\zeta - \frac{i^4}{6\zeta^3} + \frac{i^8}{56\zeta^7} \right) \quad (2.8)$$

Отображающая функция (2.7) примет вид

$$z = R \left(\zeta - \frac{\lambda^4}{6\zeta^2} + \frac{\lambda^8}{56\zeta^4} + \frac{\lambda^4}{6} \zeta^3 \right) \quad (2.9)$$

2. Обозначим через $\psi_0(\zeta)$ функцию Кристоффеля-Шварца, отображающую область единичного круга на область правильного многоугольника. Эта функция разлагается в ряд Тейлора

$$\psi_0(\zeta) = c \left(\zeta + \sum_{k=1}^{\infty} a_{mk+1} \zeta^{mk+1} \right) \quad (2.10)$$

где m — по-прежнему число сторон многоугольника, a_{mk+1} — известные действительные постоянные.

Аналогично случаю предыдущего пункта можно показать, что

$$z = \psi(\zeta) = \frac{R}{\lambda} \left[\zeta + \sum_{k=1}^{\infty} a_{mk+1} \zeta^{mk+1} - \frac{\lambda^{2m} a_{m-1}}{\zeta^{m-1}} \right] \quad (2.11)$$

является приближенным выражением функции, конформно отображающей область кольца радиусами $r = \lambda < 1$ и $r = 1$ на область G , ограниченную изнутри окружностью радиуса R , а извне — правильным многоугольником. Приближенность указанного выражения заключается в том, что условие перехода контуров кольца на контуры области G удовлетворяется с точностью $1 - \lambda^{2m} \approx 1$.

§3. Отображение области кольца на область, ограниченную изнутри правильным многоугольником с закругленными углами, а извне — замкнутой кривой, симметричной относительно осей симметрии указанного многоугольника

1. Известная функция

$$z = c \left[\zeta - \frac{\lambda^m}{(m-1)^2 \zeta^{m-1}} \right] \quad (3.1)$$

конформно отображает внешность окружности радиуса $r = \lambda$ на внешность правильного m -угольника с закругленными углами. Коэффициент при втором члене (3.1) выбран из условия равенства нулю кривизны контура многоугольника в срединных точках его сторон [3].

Можно показать, что указанному условию удовлетворяет каждый член ряда

$$z = \psi(\zeta) = \sum_{k=0}^{\infty} a_{mk+1} \left[\zeta^{mk+1} - \frac{(mk+1)^2}{(mk+m-1)^2} \frac{\lambda^{2mk+m}}{\zeta^{mk+m-1}} \right] \quad (3.2)$$

причем $a_1 \neq 0$. Непосредственно видно, что первый член (3.2) совпадает с (3.1). Согласно (3.2), когда точка ζ описывает окружность радиуса $r = 1$, точка z , независимо от значений коэффициентов a_{mk+1} , будет описывать правильный m -угольник с закругленными углами.

Обобщенную функцию (3.2) можно использовать при отображении области кольца радиусами $r = \lambda < 1$ и $r = 1$ на область G , ограниченную изнутри правильным m -угольником с закругленными углами, а извне — некоторой замкнутой кривой L , симметричной относительно осей симметрии указанного m -угольника. Уравнение в комплексной форме кривой L получится из (3.2) при $\zeta = e^{i\theta}$:

$$z = \sum_{k=0}^{\infty} a_{mk+1} \left| e^{i(mk+1)\theta} - \frac{(mk+1)^2}{(mk+m-1)^2} e^{i2mk-m} e^{-i(mk+m-1)\theta} \right| \quad (3.3)$$

2. Рассмотрим случай отображения области указанного кольца на область G , ограниченную изнутри правильным m -угольником с закругленными углами, а извне — правильным m -угольником, оси симметрии которых совпадают.

При определении коэффициентов a_{mk+1} достаточно учесть уравнение той части контура внешнего m -угольника, для которой $-\frac{\pi}{m} < \theta \leq \frac{\pi}{m}$. В этом интервале $x = \text{const} = a$, следовательно, согласно (3.3)

$$\sum_{k=0}^{\infty} a_{mk+1} \left| \cos(mk+1)\theta - \frac{(mk+1)^2}{(mk+m-1)^2} e^{i2mk-m} \cos(mk+m-1)\theta \right| = a \\ \left(-\frac{\pi}{m} < \theta \leq \frac{\pi}{m} \right) \quad (3.4)$$

В промежутке $\left(-\frac{\pi}{m}, +\frac{\pi}{m} \right)$ функции $\cos m n \frac{\pi}{m}$ ($n = 0, 1, 2, \dots$) образуют полную систему, поэтому для определения a_{mk+1} умножим (3.4) на $\cos m n \frac{\pi}{m}$ и проинтегрируем результат от $-\frac{\pi}{m}$ до $+\frac{\pi}{m}$.

Обозначив при этом

$$(-1)^k a_{mk+1} = \frac{\pi a}{m \sin \frac{\pi}{m}} u_{mk+1} \quad (3.5)$$

приходим к бесконечной системе уравнений относительно u_{mk+1} :

$$\sum_{k=0}^{\infty} \frac{(mk+1) u_{mk+1}}{(mn-mk-1)(mn+mk+1)} \left[1 - \right]$$

$$\left| \frac{(mk+1)(mn-mk-1)(mn+mk+1) i^{2mk+m}}{(mk+m-1)(mn-mk-m+1)(mn+mk+m-1)} \right| = z_n \\ (n=0, 1, 2, \dots) \quad (3.6)$$

где

$$z_0 = -1, \quad z_1 = z_2 = \dots = 0 \quad (3.7)$$

Из уравнений (3.6) можно найти приближенные значения конечного числа коэффициентов u_{mk+1} , и тем самым из (3.2), с учетом (3.5), определить приближенное выражение отображающей функции.

Покажем, что систему (3.6), при некотором ограничении значений параметра i , можно привести к регулярному виду.

Легко проверить, что указанную систему можно видоизменить так:

$$\sum_{k=0}^{\infty} u_{mk+1} \left| \frac{1}{mn-mk-1} - \frac{1}{mn+mk+1} - \frac{(mk+1)^2}{(mk+m-1)^2} i^{2mk+m} \right. \\ \times \left. \left(\frac{1}{mn-mk-m+1} - \frac{1}{mn+mk+m-1} \right) \right| = 2z_n \quad (3.8)$$

Заменив в (3.8) n на $n+1$ и вычитя полученную систему из (3.8) (известный прием, указанный в [1]), приходим к новой бесконечной системе уравнений, которую запишем в следующем виде:

$$u_{mn+1} = \frac{m-1}{1+y_n} \sum_{\substack{k=0 \\ k \neq n}}^{\infty} u_{mk+1} \left[A_{k,n} - B_{k,n} - \frac{(mk+1)^2}{(mk+m-1)^2} i^{2mk+m} \right. \\ \times \left. (C_{k,n} - D_{k,n}) \right] - \frac{2(m-1)}{m(1+y_n)} z_n \quad (n=0, 1, 2, \dots) \quad (3.9)$$

где

$$A_{k,n} = \frac{1}{(mn-mk-1)(mn-mk+m-1)} \quad (3.10)$$

$$B_{k,n} = \frac{1}{(mn+mk+1)(mn+mk+m+1)}$$

$$C_{k,n} = \frac{1}{(mn-mk-m+1)(mn-mk+1)}$$

$$D_{k,n} = \frac{1}{(mn+mk+m-1)(mn+mk+2m-1)}$$

$$y_n = \frac{m-1}{(2mn+1)(2mn+m+1)} - \frac{(mn+1)^2 i^{2mn+m}}{(mn+m-1)^2} \left[1 + \right. \\ \left. + \frac{m-1}{(2mn+m-1)(2mn+2m-1)} \right] \quad (3.11)$$

Легко проверить, что при $k \neq n$

$$\begin{aligned} A_{k,n} > 0, \quad B_{k,n} > 0, \quad C_{k,n} > 0, \quad D_{k,n} > 0 \\ A_{k,n} - B_{k,n} > 0, \quad C_{k,n} - D_{k,n} > 0 \end{aligned} \quad (3.12)$$

и все эти величины стремятся к нулю, когда в отдельности $k, n \rightarrow \infty$.

Нетрудно доказать справедливость оценки

$$\nu_{k,n} = \frac{(mk+1)^{2k}}{(mk+m-1)^2} \frac{C_{k,n} - D_{k,n}}{A_{k,n} - B_{k,n}} \leq \lambda^m \frac{(mk+m-1)(mn-mk+m-1)}{(mk+1)(mn-mk-m+1)} \quad (3.13)$$

откуда

при $k < n$

$$\begin{aligned} \nu_{k,n} &\leq \lambda^m \left(1 + \frac{m-2}{mk+1} \right) \left[1 + \frac{2(m-1)}{mn-mk-m+1} \right] \leq \\ &\leq \lambda^m (m-1) (2m-1) \end{aligned} \quad (3.14)$$

при $k > n$

$$\nu_{k,n} \leq \lambda^m (m-1) \quad (3.15)$$

Из (3.14) и (3.15), потребовав выполнения неравенств

$$\nu_{k,n} \leq 1 \quad (3.16)$$

получим

$$\lambda \leq |(m-1)(2m-1)|^{-\frac{1}{2}} \quad (3.17)$$

Согласно (3.17) значения λ монотонно возрастают от 0,464 при $m=3$ до 1 при $m=\infty$.

Учитывая (3.17) и приняв $m > 2$, будем иметь оценку

$$\begin{aligned} \frac{(mn+1)^2}{(mn+m-1)^2} &\leq \lambda^{2mn-m} \left[1 + \frac{m-1}{(2mn+m-1)(2mn-2m+1)} \right] \leq \\ &\leq \frac{2m(m-1)}{(m-1)^{2n-2}(2m-1)^{2n-2}} \leq \frac{2m(m-1)}{(2m+1)^{2n-2}} \leq \\ &\leq \frac{m-1}{(2m+1)^{2n+1}} = \frac{m-1}{1 + \frac{2n+1}{1!} 2m + \frac{(2n+1)2n}{2!} (2m)^2} \leq \\ &\leq \frac{m-1}{(2mn+1)(2mn+2m-1)} \end{aligned} \quad (3.18)$$

Сопоставив (3.11) с (3.18), получим

$$v_n > 0 \quad \text{и} \quad \lim_{n \rightarrow \infty} v_n = 0 \quad (3.19)$$

Пользуясь (3.10), (3.12), (3.13), (3.16) и (3.19), получим условие регулярности системы (3.9)

$$\begin{aligned} \frac{m-1}{1+\gamma_n} \sum_{\substack{k=0 \\ k=n}}^{\infty} \left| A_{k,n} - B_{k,n} - \frac{(mk+1)^2}{(mk+m-1)^2} i^{2mk+m} (C_{k,n} - D_{k,n}) \right| \leqslant \\ \leqslant \frac{m-1}{1+\gamma_n} \sum_{\substack{k=0 \\ k=n}}^{\infty} |A_{k,n}| = \frac{1}{1-\gamma_n} \left[1 - \frac{m-1}{m(mn+m-1)} \right] \leqslant 1 \quad (3.20). \end{aligned}$$

причем последний знак равенства имеет место при $n = \infty$.

При выводе (3.20) использовано значение суммы ряда [4]

$$\sum_{\substack{k=0 \\ k=n}}^{\infty} \frac{1}{(mn-mk-1)(mn-mk+m-1)} = \frac{1}{m-1} \left[1 - \frac{m-1}{m(mn+m-1)} \right]$$

Регулярная система (3.9), с учетом (3.7), позволяет найти значения конечного числа неизвестных u_{mk+1} с недостатком и избытком [1].

§ 4. Кручение стержня круглого поперечного сечения с разрезом, параллельным одному из диаметров круга

В качестве примера применения построенных отображающих функций рассмотрим задачу о кручении стержня с поперечным сечением в виде круга с разрезом, параллельным одному из диаметров круга (фиг. 5).

Задача кручения для двусвязной области легко решается, когда известна функция, конформно отображающая область кольца на эту двусвязную область [5]. Учитывая это, мы опускаем детали решения.

Будем пользоваться отображающей функцией (1.16). Функцию напряжений при кручении выберем в виде

$$\Phi = -\frac{\pi z}{2} \bar{z} + \mu R^2 \Phi_0 \quad (4.1)$$

где \bar{z} — относительный угол закручивания, Φ_0 — гармоническая функция

$$\begin{aligned} \Phi_0 = A_0 + \sum_{k=1}^6 [(A_{2k} z^{2k} + B_{2k} i^{2k} z^{-2k}) \cos 2k\theta - \\ - (A_{2k-1} z^{2k-1} - B_{2k-1} i^{2k-2} z^{-2k+1}) \sin (2k-1)\theta] \quad (4.2) \end{aligned}$$

A_k, B_k — искомые постоянные.

Пользуясь контурными условиями задачи: $\Phi = 0$ при $\bar{z} = 1$ и $\Phi = C_0$ при $\bar{z} = i$, учитывая при этом (1.16), (4.1) и (4.2), находим

$$C_0 = \frac{\pi \gamma}{2} \sum_{k=1}^6 (1 - i^{2k})^n a_k^n$$

$$\begin{aligned}
 A_0 &= \frac{1}{2} \sum_{k=1}^6 (1 + i^{4k}) a_k^2 \\
 A_{2k} &= R^{-2} (1 - i^{4k})^{-1} \left[\sum_{m=1}^{6-2k} (1 - 2i^{2m+4k} + i^{4m+4k}) a_m a_{2k+m} - \right. \\
 &\quad \left. - \sum_{m=1}^{2k-1} (-1)^m i^{4k-2m} (1 - i^{2m}) a_m a_{2k-m} \right] \\
 B_{2k} &= -R^{-2} (1 - i^{4k})^{-1} \left[\sum_{m=1}^{6-2k} (1 - 2i^{2m} + i^{4m+4k}) a_m a_{2k+m} + \right. \\
 &\quad \left. + \sum_{m=1}^{2k-1} (-1)^m (1 - i^{4k-2m}) a_m a_{2k-m} \right] \\
 A_{2k-1} &= -R^{-2} (1 - i^{4k-2})^{-1} \left[\sum_{m=1}^{7-2k} (-1)^m (1 - 2i^{2m+4k-2} + \right. \\
 &\quad \left. + i^{4m+4k-2}) a_m a_{2k+m-1} - \sum_{m=1}^{2k-1} i^{4k-2m-2} (1 - i^{2m}) a_m a_{2k-m-1} \right] \\
 B_{2k-1} &= -R^{-2} (1 - i^{4k-2})^{-1} \left[\sum_{m=1}^{7-2k} (-1)^m (1 - 2i^{2m} + \right. \\
 &\quad \left. - i^{4m+4k-2}) a_m a_{2k-m-1} + \sum_{m=1}^{2k-1} (1 - i^{4k-2m-2}) a_m a_{2k-m-1} \right] \\
 &\quad (k = 1, 2, \dots, 6)
 \end{aligned}$$

Коэффициенты a_k определяются по (1.17). Таким образом, функция Φ полностью определена. Крутящий момент определяется по формуле

$$M = 2C_0 F_0 - 2 \iint_F \Phi dx dy$$

Так как $F_0 = 0$ (площадь, ограниченная разрезом, равна нулю), то

$$M = 2 \iint_F \Phi dx dy = 2 \int_0^1 \int_{-\pi/2}^{\pi/2} \Phi(\rho, \theta) \omega(\rho e^{i\theta}) \bar{\omega}(\rho e^{-i\theta}) d\rho d\theta \quad (4.3)$$

где

$$\omega(\rho e^{i\theta}) = \omega(\zeta) = \frac{dz}{d\zeta}$$

Касательные напряжения определим по формулам

$$\tilde{z}_r = - \frac{x \frac{\partial x}{\partial \theta} + y \frac{\partial y}{\partial \theta} - R^2 \frac{\partial \Phi_0}{\partial \theta}}{\left| \left(\frac{\partial x}{\partial \theta} \right)^2 + \left(\frac{\partial y}{\partial \theta} \right)^2 \right|^{\frac{1}{2}}} \quad (4.4)$$

$$\tilde{z}_\theta = - \frac{x \frac{\partial x}{\partial \theta} + y \frac{\partial y}{\partial \theta} - R^2 \frac{\partial \Phi_0}{\partial \theta}}{\left| \left(\frac{\partial x}{\partial \theta} \right)^2 + \left(\frac{\partial y}{\partial \theta} \right)^2 \right|^{\frac{1}{2}}} \quad (4.5)$$

Согласно (1.16)

$$\begin{aligned} x = & \sum_{k=1}^n \left[a_{-k-1} \left(p^{2k-1} + \frac{\lambda^{4k-2}}{p^{2k-1}} \right) \cos(2k-1)\theta + \right. \\ & \left. - a_{2k} \left(p^{2k} + \frac{\lambda^{4k}}{p^{2k}} \right) \sin 2k\theta \right] \\ y = & \sum_{k=1}^n \left[a_{2k-1} \left(p^{2k-1} - \frac{\lambda^{4k-2}}{p^{2k-1}} \right) \sin(2k-1)\theta + \right. \\ & \left. + a_{2k} \left(p^{2k} - \frac{\lambda^{4k}}{p^{2k}} \right) \cos 2k\theta \right] \end{aligned}$$

Для получения числовых результатов рассмотрим случай

$$\gamma = \lambda = 0.25$$

Из (1.17) имеем

$$\begin{aligned} a_1 &= 0.93750000R, \quad a_2 = -0.20703125R \\ a_3 &= -0.10156250R, \quad a_4 = 0.03613280R \\ a_5 &= 0.01953125R, \quad a_6 = -0.00781250R \end{aligned}$$

Далее находим

$$\begin{aligned} A_0 &= 0.4686322, \quad A_1 = -0.2327116 \\ A_2 &= -0.0536258, \quad A_3 = 0.0259236 \\ A_4 &= 0.0137898, \quad A_5 = -0.0051192 \\ A_6 &= 0.0011763, \quad A_7 = -0.0004733 \\ A_8 &= -0.0000068, \quad A_9 = 0.0000002 \\ A_{10} &= A_{12} = 0, \quad A_{11} = 0 \\ B_1 &= -0.2082840, \quad B_2 = 0.9205706 \\ B_3 &= 0.4098398, \quad B_4 = -0.2447764 \end{aligned}$$

$$B_5 = -0.1140064, \quad B_6 = 0.0607212$$

$$B_7 = 0.0296006, \quad B_8 = -0.0085008$$

$$B_9 = -0.0029980, \quad B_{10} = 0.0009460$$

$$B_{11} = 0.0003052, \quad B_{12} = -0.0000610$$

Значение постоянного коэффициента C_0 не приводится, так как он исключен из выражения крутящего момента.

Из (4.3) находим

$$M = 0.4932\pi\mu R^4 \quad (4.6)$$

Для сравнения и проверки точности вычислений приведем значения крутящего момента:

для круга радиуса R без разреза

$$M = 0.5\pi\mu R^4 \quad (4.7)$$

для кольца с внешним радиусом R и с внутренним радиусом $0.5R$

$$M = 0.4688\pi\mu R^4$$

для кольца с внешним радиусом R , внутренняя окружность которого проходит через крайние точки рассматриваемого разреза (внутренний радиус $\approx 0.56R$)

$$M = 0.4509\pi\mu R^4$$

Согласно (4.6) и (4.7) рассматриваемый разрез не оказывает существенного влияния на значение крутящего момента.

Значения касательных напряжений $\tau_y (\tau_y = 0)$ на внешнем контуре сечения ($\rho = 1$) и в точках разреза ($\rho = \lambda = 0.25$) приведены в табл. 1. Из этой таблицы видно, что наибольшее и наименьшее напряжения на внешнем контуре мало отличаются друг от друга (7%), при этом наибольшее напряжение отличается от наибольшего касательного напряжения круглого сечения без разреза ($= \mu R$) на 4% .

Таким образом, рассматриваемый разрез не оказывает существенного влияния на величину и распределение касательных напряжений внешнего контура.

В точках разреза $y = \frac{\partial x}{\partial \varphi} = 0$, вследствие чего формула (4.5) упрощается

$$\tau_y = - \frac{\frac{\partial \Phi_0}{\partial \varphi}}{\left| \frac{\partial y}{\partial \varphi} \right|} R^2 \mu \quad (4.8)$$

На концах разреза ($x = \pm 0.468R$, $\theta = 6^\circ 41'$ и $180^\circ - 6^\circ 41'$)

$$\frac{\partial y}{\partial \varphi} = 0, \quad \frac{\partial \Phi_0}{\partial \varphi} \neq 0$$

Вследствие этого в указанных точках $\tau_0 = \infty$.

Легко показать, что главный вектор касательных усилий, действующих в окрестности каждой из крайних точек разреза, стремится к нулю, то есть что в указанных точках имеет место концентрация напряжений.

Таблица 2

| $\psi\theta$ | $\rho = 0.25$ | $\rho = 1$ | $\rho = 1$ | $\rho = 0.25$ | $\rho = 1$ |
|--------------|---------------|------------|--------------------|--------------------|------------|
| | x/R | y/R | $\tau_0/\mu\tau R$ | $\tau_0/\mu\tau R$ | |
| -90 | 0 | 0 | -0.7475 | 0.0126 | 0.9818 |
| -80 | 0.0740 | 0.1376 | -0.7407 | 0.0216 | 0.9786 |
| -70 | 0.1462 | 0.2719 | -0.7129 | 0.0487 | 0.9742 |
| -60 | 0.2149 | 0.3981 | -0.6670 | 0.0951 | 0.9790 |
| -50 | 0.2785 | 0.5113 | -0.6062 | 0.1629 | 0.9992 |
| -40 | 0.3352 | 0.6099 | -0.5362 | 0.2570 | 1.0273 |
| -30 | 0.3837 | 0.6970 | -0.4610 | 0.3891 | 1.0400 |
| -20 | 0.4225 | 0.7771 | -0.3797 | 0.5901 | 1.0210 |
| -10 | 0.4502 | 0.8509 | -0.2868 | 0.9693 | 0.9887 |
| -5 | 0.4595 | 0.8842 | -0.2345 | 1.3661 | 0.9773 |
| 0 | 0.4656 | 0.9140 | -0.1779 | 2.3261 | 0.9726 |
| +5 | 0.4683 | 0.9395 | -0.1173 | 9.7421 | 0.9754 |
| +6°41' | 0.4680 | | ∞ | | |
| +10 | 0.4676 | 0.9602 | -0.0532 | 3.5177 | 0.9850 |
| +15 | 0.4632 | 0.9758 | 0.0140 | 1.2593 | 0.9996 |
| +20 | 0.4552 | 0.9866 | 0.0841 | 0.6378 | 1.0157 |
| +25 | 0.4435 | 0.9928 | 0.1573 | 0.3314 | 1.0291 |
| +30 | 0.4281 | 0.9944 | 0.2343 | 0.1402 | 1.0362 |
| +35 | 0.4089 | 0.9910 | 0.3163 | 0.0046 | 1.0352 |
| +40 | 0.3860 | 0.9811 | 0.4045 | -0.0993 | 1.0276 |
| +45 | 0.3595 | 0.9624 | 0.4997 | -0.1826 | 1.0164 |
| +55 | 0.2964 | 0.8858 | 0.7103 | -0.3087 | 0.9965 |
| +65 | 0.2213 | 0.7338 | 0.9312 | -0.3962 | 0.9893 |
| +75 | 0.1368 | 0.4915 | 1.1225 | -0.4526 | 0.9918 |
| +80 | 0.0921 | 0.3398 | 1.1914 | -0.4701 | 0.9941 |
| +90 | 0 | 0 | 1.2501 | -0.4840 | 0.9966 |

В табл. 2 приведены значения касательных напряжений τ_0 ($\tau_0 = 0$), возникающих в точках оси симметрии сечения (в точках оси y).

Таблица 2

| ρ | $\theta = -\pi/2$ | | | $\theta = +\pi/2$ | | |
|--------|-------------------|---------------|--------|-------------------|---------------|--|
| | y/R | $z_0/(\pi R)$ | ρ | y/R | $z_0/(\pi R)$ | |
| 0.25 | 0 | 0.0126 | 0.25 | 0 | -0.4840 | |
| 0.30 | -0.0779 | 0.1619 | 0.30 | 0.0977 | -0.3037 | |
| 0.35 | -0.1453 | 0.2752 | 0.35 | 0.1839 | -0.1615 | |
| 0.40 | -0.2058 | 0.3665 | 0.40 | 0.2638 | -0.0564 | |
| 0.45 | -0.2615 | 0.4436 | 0.45 | 0.3405 | 0.0409 | |
| 0.50 | -0.3138 | 0.5110 | 0.50 | 0.4156 | 0.1286 | |
| 0.55 | -0.3634 | 0.5776 | 0.55 | 0.4903 | 0.2144 | |
| 0.60 | -0.4109 | 0.6273 | 0.60 | 0.5655 | 0.2937 | |
| 0.65 | -0.4567 | 0.6795 | 0.65 | 0.6419 | 0.3758 | |
| 0.70 | -0.5012 | 0.7289 | 0.70 | 0.7200 | 0.4556 | |
| 0.75 | -0.5446 | 0.7763 | 0.75 | 0.8003 | 0.5383 | |
| 0.80 | -0.5870 | 0.8222 | 0.80 | 0.8832 | 0.6231 | |
| 0.85 | -0.6287 | 0.8670 | 0.85 | 0.9692 | 0.7153 | |
| 0.90 | -0.6696 | 0.9110 | 0.90 | 1.0587 | 0.8019 | |
| 0.95 | -0.7100 | 0.9545 | 0.95 | 1.1522 | 0.8976 | |
| 1.00 | -0.7498 | 0.9818 | 1.00 | 1.2501 | 0.9966 | |

В этих точках

$$x=0, \quad \theta = \pm \frac{\pi}{2}, \quad 0.25 \leq \rho \leq 1$$

$$\begin{aligned} \frac{\partial x}{\partial \rho} &= 0, \quad \frac{\partial y}{\partial \rho} = \pm \sum_1^3 (-1)^{k-1} a_{2k-1} (2k-1) \left(t^{2k-1} + \frac{t^{4k-2}}{\rho^{2k}} \right) \mp \\ &\quad \pm 2 \sum_1^3 (-1)^k a_{2k} \left(t^{2k-1} + \frac{t^{4k}}{\rho^{2k+1}} \right) \\ \frac{\partial \Phi_0}{\partial \rho} &= \pm 2 \sum_1^6 (-1)^k \left(A_{2k} t^{2k-1} - \frac{t^{4k} B_{2k}}{\rho^{2k+1}} \right) \mp \\ &\quad \mp \sum_1^6 (-1)^{k-1} (2k-1) \left(A_{2k-1} t^{2k-2} + \frac{t^{4k-2} B_{2k-1}}{\rho^{2k}} \right) \\ z_0 &= \frac{y \frac{\partial y}{\partial \rho} - R^2 \frac{\partial \Phi_0}{\partial \rho}}{\left| \frac{\partial y}{\partial \rho} \right|} \end{aligned}$$

Из двойных знаков верхний относится к значениям $y \geq 0$, а нижний — к значениям $y \leq 0$.

О. М. САПОНДЖАН

ՄԻ ՔԱՅԻ ԵՐԿԱՎՈՐ ՏԵՐԱԲԵՐՅԱՅԻ ՀԱՄԱՐ ԿԱՆՑՈՐՄ ԱՐՏԱՊԱՏԿԵՐՄՈՅՆ
ՅՈՒՆԻՑԻԱՆԵՐԻ ԿԱՌՈՒՅՅՈՒՄ ԵՎ ԳՐԱՆՑԻՑ ՄԵԿԻ
ԱԽՐԱՋՈՒՄԸ ԱԼԱՐՄԱՆ ԽՆԴՐՈՒՄ

Ա մ փ ո փ ո ւ մ

Խորանի շարքի օգնությամբ կառուցված են օպակի տիրույթը մի քանի երկ-
կայ տիրույթների վրա կրնֆորմ արտապատկերման ֆունկցիաներ։ Դրանց
կառուցումը համեմատաբար հեշտ է իրազործվում, եթե երկկայ տիրույթը
ներսից սահմանափակված է ուղղագիծ ճեղքով, իսկ գրախց՝ պարզ եղագծով։
Դիտարկված են ուղղագիծ ձեղքը ունեցող անվիրաց շերտի և շրջանի տիրույթնե-
րի արտապատկերման մի քանի զեպքեր։ Դիտարկված են նաև արտապատկեր-
ման այլ զեպքեր։

Ճեղքը ունեցող շրջանի արտապատկերման ֆունկցիան, այն դեպքում, եթե
ճեղքը զուգահեռ է շրջանի տրամագծերից մեկին, օգտագործվել է համապա-
տասխան կտրվածք ունեցող ձևի ոլորտան ինդիքը լուծելիս։

CONSTRUCTION OF SOME CONFORMAL MAPPING FUNCTIONS FOR DOUBLE-CONNECTED REGIONS AND THEIR APPLICATION TO THE TORSION PROBLEM

O. M. SAPONJIAN

S u m m a r y

This paper presents constructions of Laurent's series that map a circular ring onto some double-connected regions. Such transformations are comparatively easy to realize when the inner rim is a linear crack and the outer rim is a plane curve. Transformations of some cases of infinite strips and disks with a linear crack are considered. Other mappings are also presented.

The transformation of a circular ring onto the region of a circle with the crack which is parallel to the diameter is used to solve the corresponding problem of torsion.

Л И Т Е Р А Т У Р А

1. Канторович Л. В. и Крылов В. И. Приближенные методы высшего анализа. Гос-техиздат, Л.-М., 1952.
2. Уюдчиков А. Г., Боков В. В., Кулагин Ю. М. К решению плоских задач теории пластичности в криволинейных координатах. Методы решения задач упругости и пластичности. Горький, 1969.
3. Нейман М. И. Напряжения в балке с криволинейным отверстием. М., 1937.
4. Градштейн И. С., Рыжик И. М. Таблицы интегралов, сумм, рядов и произведений. Физматгиз, М., 1962.
5. Мусхелишвили Н. И. Некоторые основные задачи математической теории упругости. М., 1954.